

Starkniederschlagshöhen und -spenden gemäß KOSTRA-DWD-2020

Rasterfeld 150159

(Zeile 150, Spalte 159)

Regenspende und Bemessungsniederschlagswerte in Abhängigkeit von Wiederkehrzeit T und Dauerstufe D

| Dauerstufe D | | Wiederkehrzeit T | | | | | | | | | | | | | | | | | |
|--------------|-----|------------------|------------|------|------------|------|------------|-------|------------|-------|------------|-------|------------|-------|------------|-------|------------|-------|------------|
| | | 1 a | | 2 a | | 3 a | | 5 a | | 10 a | | 20 a | | 30 a | | 50 a | | 100 a | |
| min | Std | mm | l / (s ha) | mm | l / (s ha) | mm | l / (s ha) | mm | l / (s ha) | mm | l / (s ha) | mm | l / (s ha) | mm | l / (s ha) | mm | l / (s ha) | mm | l / (s ha) |
| 5 | | 7,2 | 240,0 | 8,9 | 296,7 | 10,0 | 333,3 | 11,4 | 380,0 | 13,5 | 450,0 | 15,6 | 520,0 | 17,0 | 566,7 | 18,8 | 626,7 | 21,4 | 713,3 |
| 10 | | 9,5 | 158,3 | 11,7 | 195,0 | 13,2 | 220,0 | 15,0 | 250,0 | 17,7 | 295,0 | 20,5 | 341,7 | 22,3 | 371,7 | 24,7 | 411,7 | 28,1 | 468,3 |
| 15 | | 10,9 | 121,1 | 13,5 | 150,0 | 15,1 | 167,8 | 17,3 | 192,2 | 20,4 | 226,7 | 23,5 | 261,1 | 25,6 | 284,4 | 28,3 | 314,4 | 32,3 | 358,9 |
| 20 | | 11,9 | 99,2 | 14,8 | 123,3 | 16,6 | 138,3 | 18,9 | 157,5 | 22,3 | 185,8 | 25,8 | 215,0 | 28,1 | 234,2 | 31,1 | 259,2 | 35,4 | 295,0 |
| 30 | | 13,5 | 75,0 | 16,8 | 93,3 | 18,8 | 104,4 | 21,4 | 118,9 | 25,3 | 140,6 | 29,2 | 162,2 | 31,8 | 176,7 | 35,2 | 195,6 | 40,0 | 222,2 |
| 45 | | 15,2 | 56,3 | 18,8 | 69,6 | 21,1 | 78,1 | 24,1 | 89,3 | 28,4 | 105,2 | 32,9 | 121,9 | 35,8 | 132,6 | 39,6 | 146,7 | 45,0 | 166,7 |
| 60 | 1 | 16,5 | 45,8 | 20,4 | 56,7 | 22,9 | 63,6 | 26,1 | 72,5 | 30,8 | 85,6 | 35,6 | 98,9 | 38,8 | 107,8 | 42,9 | 119,2 | 48,8 | 135,6 |
| 90 | 1,5 | 18,4 | 34,1 | 22,9 | 42,4 | 25,6 | 47,4 | 29,2 | 54,1 | 34,5 | 63,9 | 39,8 | 73,7 | 43,4 | 80,4 | 48,0 | 88,9 | 54,6 | 101,1 |
| 120 | 2 | 19,9 | 27,6 | 24,7 | 34,3 | 27,7 | 38,5 | 31,6 | 43,9 | 37,3 | 51,8 | 43,1 | 59,9 | 46,9 | 65,1 | 51,9 | 72,1 | 59,0 | 81,9 |
| 180 | 3 | 22,2 | 20,6 | 27,5 | 25,5 | 30,9 | 28,6 | 35,2 | 32,6 | 41,5 | 38,4 | 48,0 | 44,4 | 52,3 | 48,4 | 57,8 | 53,5 | 65,8 | 60,9 |
| 240 | 4 | 23,9 | 16,6 | 29,7 | 20,6 | 33,3 | 23,1 | 38,0 | 26,4 | 44,8 | 31,1 | 51,8 | 36,0 | 56,4 | 39,2 | 62,4 | 43,3 | 71,1 | 49,4 |
| 360 | 6 | 26,6 | 12,3 | 33,1 | 15,3 | 37,1 | 17,2 | 42,3 | 19,6 | 49,9 | 23,1 | 57,7 | 26,7 | 62,8 | 29,1 | 69,5 | 32,2 | 79,1 | 36,6 |
| 540 | 9 | 29,6 | 9,1 | 36,8 | 11,4 | 41,3 | 12,7 | 47,1 | 14,5 | 55,5 | 17,1 | 64,2 | 19,8 | 69,9 | 21,6 | 77,3 | 23,9 | 88,0 | 27,2 |
| 720 | 12 | 32,0 | 7,4 | 39,7 | 9,2 | 44,5 | 10,3 | 50,8 | 11,8 | 59,9 | 13,9 | 69,2 | 16,0 | 75,4 | 17,5 | 83,4 | 19,3 | 94,9 | 22,0 |
| 1080 | 18 | 35,5 | 5,5 | 44,2 | 6,8 | 49,5 | 7,6 | 56,5 | 8,7 | 66,6 | 10,3 | 77,0 | 11,9 | 83,8 | 12,9 | 92,7 | 14,3 | 105,5 | 16,3 |
| 1440 | 24 | 38,3 | 4,4 | 47,6 | 5,5 | 53,4 | 6,2 | 60,9 | 7,0 | 71,8 | 8,3 | 83,0 | 9,6 | 90,3 | 10,5 | 100,0 | 11,6 | 113,8 | 13,2 |
| 2880 | 48 | 45,9 | 2,7 | 57,0 | 3,3 | 63,9 | 3,7 | 73,0 | 4,2 | 86,0 | 5,0 | 99,5 | 5,8 | 108,3 | 6,3 | 119,8 | 6,9 | 136,3 | 7,9 |
| 4320 | 72 | 51,0 | 2,0 | 63,4 | 2,4 | 71,1 | 2,7 | 81,1 | 3,1 | 95,6 | 3,7 | 110,5 | 4,3 | 120,3 | 4,6 | 133,1 | 5,1 | 151,5 | 5,8 |
| 5760 | 96 | 55,0 | 1,6 | 68,3 | 2,0 | 76,6 | 2,2 | 87,4 | 2,5 | 103,1 | 3,0 | 119,2 | 3,4 | 129,7 | 3,8 | 143,5 | 4,2 | 163,3 | 4,7 |
| 7200 | 120 | 58,3 | 1,3 | 72,4 | 1,7 | 81,2 | 1,9 | 92,7 | 2,1 | 109,2 | 2,5 | 126,3 | 2,9 | 137,5 | 3,2 | 152,1 | 3,5 | 173,1 | 4,0 |
| 8640 | 144 | 61,2 | 1,2 | 76,0 | 1,5 | 85,1 | 1,6 | 97,2 | 1,9 | 114,5 | 2,2 | 132,4 | 2,6 | 144,2 | 2,8 | 159,5 | 3,1 | 181,5 | 3,5 |
| 10080 | 168 | 63,7 | 1,1 | 79,1 | 1,3 | 88,6 | 1,5 | 101,2 | 1,7 | 119,2 | 2,0 | 137,9 | 2,3 | 150,1 | 2,5 | 166,1 | 2,7 | 189,0 | 3,1 |

Starkniederschlagshöhen und -spenden gemäß KOSTRA-DWD-2020

Rasterfeld 150159

(Zeile 150, Spalte 159)

Örtliche Unsicherheiten in Abhängigkeit von Wiederkehrzeit T und Dauerstufe D

| Dauerstufe D | | Wiederkehrzeit T | | | | | | | | |
|--------------|-----|------------------|-----|-----|-----|------|------|------|------|-------|
| | | 1 a | 2 a | 3 a | 5 a | 10 a | 20 a | 30 a | 50 a | 100 a |
| min | Std | ± % | ± % | ± % | ± % | ± % | ± % | ± % | ± % | ± % |
| 5 | | 11 | 12 | 13 | 13 | 14 | 15 | 15 | 15 | 16 |
| 10 | | 15 | 16 | 17 | 18 | 19 | 20 | 20 | 20 | 21 |
| 15 | | 17 | 19 | 19 | 20 | 21 | 22 | 23 | 23 | 24 |
| 20 | | 18 | 20 | 21 | 22 | 23 | 23 | 24 | 24 | 25 |
| 30 | | 19 | 21 | 22 | 23 | 24 | 25 | 25 | 26 | 26 |
| 45 | | 19 | 21 | 22 | 23 | 24 | 25 | 26 | 26 | 27 |
| 60 | 1 | 19 | 21 | 22 | 23 | 24 | 25 | 25 | 26 | 27 |
| 90 | 1,5 | 19 | 21 | 21 | 23 | 24 | 24 | 25 | 25 | 26 |
| 120 | 2 | 18 | 20 | 21 | 22 | 23 | 24 | 24 | 25 | 25 |
| 180 | 3 | 17 | 19 | 20 | 21 | 22 | 23 | 23 | 24 | 24 |
| 240 | 4 | 16 | 18 | 19 | 20 | 21 | 22 | 22 | 23 | 23 |
| 360 | 6 | 15 | 17 | 18 | 19 | 20 | 21 | 21 | 22 | 22 |
| 540 | 9 | 14 | 16 | 17 | 18 | 19 | 19 | 20 | 20 | 21 |
| 720 | 12 | 14 | 15 | 16 | 17 | 18 | 19 | 19 | 20 | 20 |
| 1080 | 18 | 14 | 15 | 15 | 16 | 17 | 18 | 18 | 18 | 19 |
| 1440 | 24 | 13 | 14 | 15 | 16 | 16 | 17 | 17 | 18 | 18 |
| 2880 | 48 | 14 | 14 | 15 | 15 | 16 | 16 | 16 | 17 | 17 |
| 4320 | 72 | 15 | 15 | 15 | 15 | 16 | 16 | 16 | 17 | 17 |
| 5760 | 96 | 16 | 15 | 16 | 16 | 16 | 16 | 16 | 17 | 17 |
| 7200 | 120 | 16 | 16 | 16 | 16 | 16 | 17 | 17 | 17 | 17 |
| 8640 | 144 | 17 | 17 | 17 | 17 | 17 | 17 | 17 | 17 | 17 |
| 10080 | 168 | 18 | 17 | 17 | 17 | 17 | 17 | 17 | 17 | 17 |

Parameter für abweichende T und D

Lokationsparameter ξ (Xi)

16,77316309

Skalenparameter α (Alpha)

5,6461162

Formparameter κ (Kappa)

-0,1

1. Koutsoyiannis-Parameter θ (Theta)

0,02562935

2. Koutsoyiannis-Parameter η (Eta)

0,7395358

Parameter für dauerstufenübergreifende Extremwertschätzung nach KOUTSOYIANNIS et al. 1998.

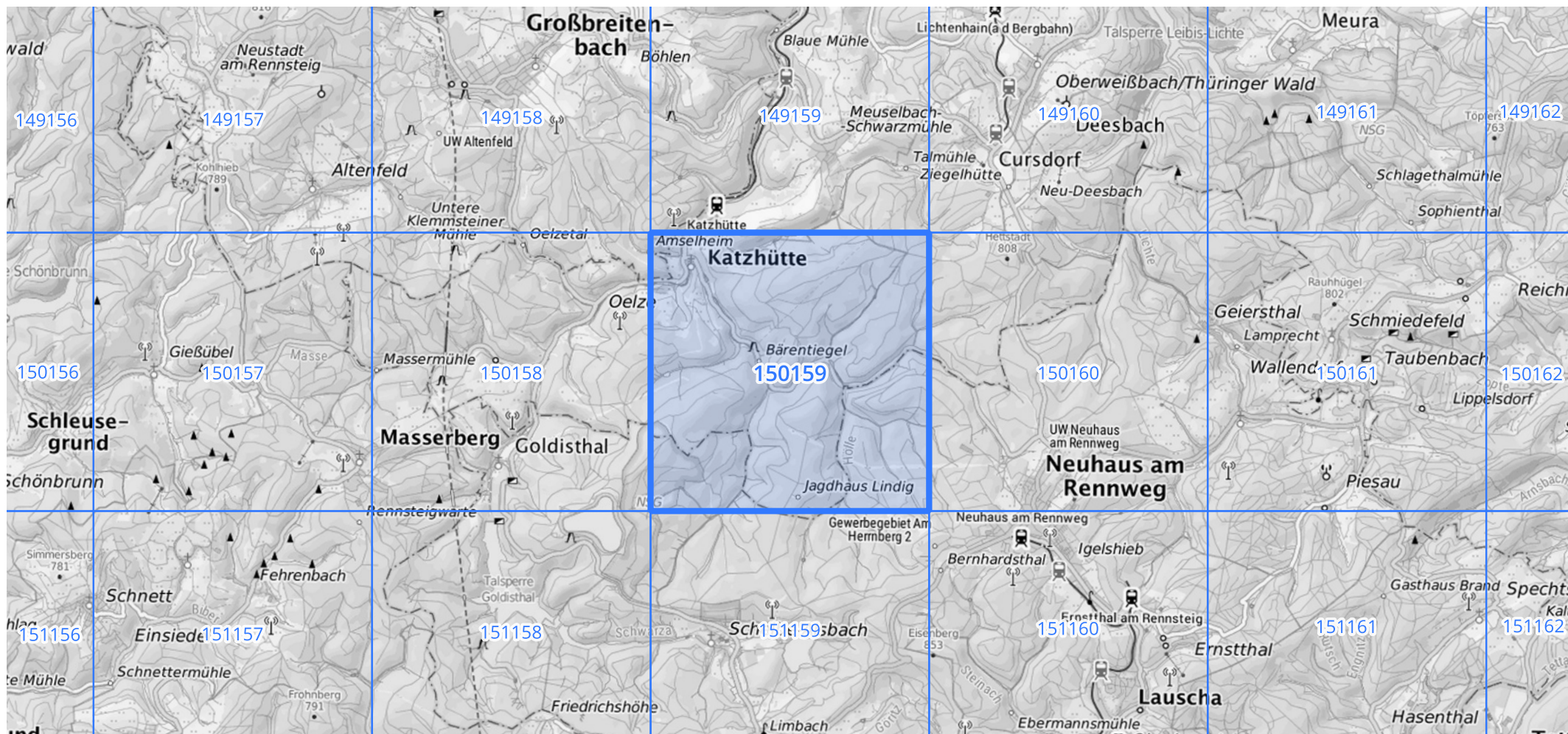
Siehe auch Anwendungshilfe zu KOSTRA-DWD-2020 des Deutschen Wetterdienstes.

Starkniederschlagshöhen und -spenden gemäß KOSTRA-DWD-2020

Rasterfeld 150159

(Zeile 150, Spalte 159)

Übersichtskarte des Rasterfeldes 150159, M 1 : 100 000



Quelle Rasterdaten: KOSTRA-DWD-2020 des Deutschen Wetterdienstes, Stand 12/2022.

Seite 3 von 3

Kartendarstellung: © Bundesamt für Kartographie und Geodäsie (2023), Datenquellen: https://sgx.geodatenzentrum.de/web_public/gdz/datenquellen/Datenquellen_TopPlusOpen.html

Für die Richtigkeit und Aktualität der Angaben wird keine Gewähr übernommen. Erstellt 01/2023.